

PACS numbers: 51.50.+v, 52.80.Mg, 52.80.Tn, 79.60.Jv, 81.15.Gh, 81.16.Be, 82.33.Xj

Умови плазмової синтези поверхневих мікроструктур у газопаровій суміші «повітря–сульфід Аргентуму (Ag_2S)»

О. К. Шуаїбов, О. Й. Міня, Р. В. Грицак, Р. М. Голомб, З. Т. Гомокі

ДВНЗ «Ужгородський національний університет»,
пл. Народна, 3,
88000 Ужгород, Україна

Наведено характеристики перенапруженого наносекундного розряду в повітрі між полікристалічними електродами, виготовленими з суперіонного провідника — сульфиду Аргентуму (Ag_2S). Досліджено імпульси напруги, струму, імпульсну потужність розряду та внесок енергії плазми за один імпульс, оптичні характеристики розряду в залежності від тиску повітря та параметрів системи збудження розряду. Це уможливило встановити оптимальні умови розпорошення полікристалічних електрод і синтезу відповідних плівок на підкладинці, встановленій біля системи електрод. Синтезовано поверхневі мікроструктури на основі розпорошеного в розряді сульфиду Аргентуму та продуктів дисоціації молекул повітря. Досліджено спектри Раманового розсіяння світла поверхневими мікроструктурами, синтезованими з продуктів розпорошення електрод і продуктів розпаду молекул повітря в розряді.

The characteristics of an overvoltage nanosecond discharge in air between polycrystalline electrodes made of a superionic conductor, silver sulphide (Ag_2S), are presented. The voltage and current pulses, the pulse discharge power and the contribution of plasma energy per pulse, and the optical characteristics of the discharge as a function of both air pressure and the parameters of the discharge-excitation system are studied. This made it possible to establish the optimal conditions for sputtering the polycrystalline electrodes and synthesizing the relevant films on a substrate installed near the electrodes' system. The surface microstructures based on both silver-sulphide sputtered in the discharge and air-molecules' dissociation products are synthesized. The Raman light-scattering spectra of the surface microstructures synthesized from both the electrodes' spray products and air-molecules' decay products in the discharge are studied.

Ключові слова: перенапружений наносекундний розряд, сульфід Аргентуму, повітря, тонкі плівки, УФ-випромінення, Раманова спектроскопія.

Key words: overvoltage nanosecond discharge, silver sulphide, air, thin films, UV radiation, Raman spectroscopy.

(Отримано 31 березня 2023 р.)

1. ВСТУП

Для синтези наноструктур суперйонних провідників, які призначені для різних застосувань у мікро- та нанотехнологіях, використовують переважно хемічні методи, методи вибуху тонких дротин або пластинок під час проходження по них імпульсу струму величиною в сотні ампер. Тому застосування технологій синтези цих наноструктур на основі більш технологічних і менш коштовних газорозрядних технологій є перспективним. Водночас виникає можливість проведення синтези наноструктур без використання вакуумної техніки в недорогих газах типу азоту, аргону чи повітря, як в газостатичних умовах, так і в газових потоках невеликої швидкості. Використання безвіконних точкових УФ-ламп з електродами, виготовленими зі срібловмісних суперйонних провідників на основі повітря атмосферного тиску, випромінювання яких супроводжується й потоком відповідних наноструктур, є перспективним для використання в біомедичній інженерії, медицині, фотохімії, а також стерилізації продукції сільськогосподарства та напоїв. Відсутність оптичних елементів у таких лампах робить їх ударо- та вібростійким, що відкриває перспективи використання їх у медицині катастроф.

Результати синтези тонких плівок на основі оксиду Цинку з використанням УФ-підсвічування підкладки з плівкою в процесі її росту за допомогою випромінювання ртутної лампи наведено в [1]. В цій праці було встановлено, що УФ-асистування процесу росту прозорих шарів ZnO сприяє поліпшенню їхніх електричних характеристик за рахунок створення додаткових донорних центрів і пониження розсіювання носіїв електричного заряду на міжзеренних межах. Недоліком такого способу синтезу тонких плівок з оксиду Цинку є використання окремого джерела УФ-випромінювання в процесі формування плівки.

Про відновлення суперйонного надпровідника Ag_2S на срібних предметах старовини до металевого срібла в магнетронному розряді із замкнутим магнетним полем у водні чи суміші $\text{Ar}-\text{H}_2$ повідомлялось у [2]. Срібна плівка, яка випаровувалася в процесі синтезу Ag_2S , була нанесена на кристал і піддавалася впливу газу H_2S з утворенням Ag_2S . З використанням робочих газових сумішей за тисків $p \approx 10-15$ Па, напруги між електродами — у 250 В і потужності розряду — у 25 Вт за 20 хвилин було синтезовано плівку з сульфату Аргентуму товщиною у 40 нм.

В [3] наведено результати застосування нітрату Аргентуму (AgNO_3) у вигляді порошку під час осадження покриття на основі сполуки Ag_2S з газової фази, яке формувалось електронним пучком з енергією у 800–1600 еВ. Осадження покриття проводилося з суміші парів солі нітриту Аргентуму та поліетилену у вакуумній камері. В якості джерела УФ-підсвічування було використано лазер, що генерував випромінення з довжиною хвилі $\lambda = 266$ нм. Недоліком такого способу синтези плівок на основі сульфату Аргентуму є необхідність у підтримці високого вакууму в реакторі та застосування дорогого УФ-лазера з імпульсами генерації наносекундної тривалості.

В [4, 5] використано хемічні методи синтези суперйонного провідника Ag_2S . Про результати гідрохемічного осадження гетеронаноструктур $\text{Ag}_2\text{S}/\text{Ag}$ і дослідження фазового перетворення «акантит Ag_2S –аргентит Ag_2S » повідомлялося в [4]. Було встановлено, що концентрація вакантних вузлів у металевій підґратниці аргентиту переважала 92%, а перетворення «акантит–аргентит» у гетеронаноструктурі $\text{Ag}_2\text{S}/\text{Ag}$ за прикладання зовнішньої напруги зміщення було оборотнім. Воднораз спостерігалася поява аргентиту Ag_2S , який добре проводить струм, замість акантиту Ag_2S , що струм не проводить; канал з високою провідністю формувался з аргентиту Ag_2S і срібла (Ag).

В [5] наведено результати синтези наночастинок суперйонного провідника Ag_2S методом хемічної конденсації у водяному розчині. Для оцінки впливу стабілізуючої хемічної сполуки AgNO_3 використано її розчини різної концентрації в спирті. Тонкі плівки синтезовано на основі колоїдного розчину; встановлено область стабільності колоїдних розчинів сульфиду Аргентуму та розміри і розподіл за розмірами наночастинок Ag_2S у плівках за різних концентрацій вихідних реагентів.

У праці [6] наведено результати синтези наноструктур CdO , Ag_2O , Ag (діаметром у $\cong 5$ –30 нм) у наносекундному розряді у рідкому азоті між кадмійовою та срібною електродами. Кубічні наночастинок на основі кадмію формувалися за напруги у 4 кВ, а за напруги у 7–10 кВ вони видовжувались і мали ниткоподібні кінці. Нанодротини кадмію формувалися шляхом збирання в рідкому азоті окремих наночастинок кадмію, а наночастинок срібла були сферичної форми та збиралися зі збільшенням напруги в двовимірні дендритні структури.

Результати застосування швидкого (з тривалістю першого пів періоду у ≈ 55 нс) мікрокапілярного розряду з максимальним струмом в імпульсі у 3–5,5 кА для генерування щільних плазмових хвилеводів, що містять велику концентрацію йонів Аргентуму (Ag), наведено в [7]. Такі результати важливі для реалізації поздовжньої схеми збудження випромінювання рентгенівського

лазера ($\lambda = 13,9$ нм) з Ni-подібними йонами Ag. Плазма утворилася шляхом випаровування стінок капілярів з сульфїду Аргентуму (Ag_2S) діаметром у 330–440 мкм і довжиною у 2–4 мм.

Перенапружений наносекундний розряд у повітрі атмосферного тиску між електродами перехідних металів (Zn, Cu, Fe і Al) успішно застосовувався для синтезу тонких наноструктурованих плівок оксидів Цинку, Купруму, Феруму й Алюмінію в полі УФ-випромінення короткохвильового випромінювання плазми самого розряду в автоматичному режимі [8, 9]. В статті [10] аналогічні результати наведено для перенапруженого наносекундного розряду між електродами зі сполуки CuInSe_2 та розряду між електродом з алюмінію й електродом зі сполуки CuInSe_2 .

Тому на даний час актуальним є пошук нових способів синтезу тонких плівок на основі суперйонного провідника Ag_2S , поліпшення умов і здешевлення процесу синтезу за рахунок застосування наносекундного розряду атмосферного тиску між електродами зі сполуки на основі суперйонних провідників із екзотичним механізмом розпорощення їх у повітрі. Таким чином, відповідає потреба у застосуванні окремого джерела УФ-випромінення для підсвічування підкладинки з плівкою в процесі формування її, вакуумної техніки та коштовних буферних газів.

В статті наведено результати дослідження електричних і оптичних характеристик перенапруженого наносекундного розряду між електродами на основі полікристалічного суперйонного провідника Ag_2S в повітрі, а також результати дослідження оптичних характеристик синтезованих поверхневих мікроструктур.

2. ТЕХНІКА Й УМОВИ ЕКСПЕРИМЕНТУ

Наносекундний розряд між електродами з суперйонного провідника, який виготовлено з полікристалічної сполуки сульфїду Аргентуму (Ag_2S), запалювався в діелектричній розрядній камері за тиску повітря $p = 101$ кПа. Віддаль між електродами — 2 мм. Діаметер циліндричних електрод — 5 мм. Радіус заокруглення робочої торцевої поверхні полікристалічних електрод був однаковим і складав $R \approx 10$ –12 мм. Масивні зразки полікристалів з суперйонного провідника Ag_2S були синтезовані в технологічній лабораторії хімічного факультету ДВНЗ «Ужгородський національний університет».

Блок-схему експериментального стенду, систему реєстрації характеристик розряду й умови експерименту наведено в [10, 11].

Міряння потужності випромінювання точкової лампи відбувалося за допомогою ультрафіолетового вимірювача потужності випромінювання «ТКА–ПКМ».

Синтезовані з продуктів деструкції електрод поверхневі мікро-

структури аналізувалися за допомогою випромінення лазерів (532, 633 і 785 нм). Використовувався спектрометр для дослідження Раманового розсіяння світла Renishaw InVia™ confocal Raman microscope (UK). Діаметер зондувальних лазерних пучків складав 1–2 мкм.

3. ХАРАКТЕРИСТИКИ НАНОСЕКУНДНОГО РОЗРЯДУ

Імпульсно-періодичний розряд між електродами на основі суперійонного провідника запалювався та горів у дифузній формі.

За віддалі між електродами $d = 2$ мм високовольтний наносекундний розряд запалювався за значної перенапруги розрядного проміжку, коли в ньому формувався пучок електронів-«утікачів». Тому для такого типу розрядів роль системи передіонізації виконує пучок електронів-«утікачів» і супутнє до нього Рентгенове випромінення [12]. Так, у праці [13] експериментально встановлено, що навіть за застосування імпульсів високої напруги з тривалістю переднього фронту у ≈ 200 нс у плазмі наносекундного розряду в повітрі атмосферного тиску формується пучок електронів-«утікачів» з інтенсивністю, лише на порядок меншою, ніж в тому ж розряді за тиску повітря у 13 кПа. Під дією цього пучка та Рентгенового випромінення розряд у повітрі атмосферного тиску навіть за достатньо неоднорідного розподілу напруженості електричного поля між електродами з радіусами заокруглення напівсферичних робочих поверхонь ($\cong 10$ – 12 мм) був достатньо однорідним за частот слідування імпульсів у 40–1000 Гц.

В сильному електричному полі між електродами на основі суперійонного провідника Ag_2S відбуваються мікробибухи нановістер і формування ектонів на поверхні електрод [14], що сприяло внесенню парів суперійонного провідника Ag_2S , продуктів розпаду їх (Ag, S) у плазму розряду й осадженню їх на діелектричній підкладинці у вигляді тонкої плівки на основі суперійонного провідника Ag_2S . Такий вигляд розряду — це передумова одержання однорідних потоків розпорошеної з поверхні електрод сполуки Ag_2S , продуктів її деструкції в плазмі, а також потоку УФ-випромінення плазми й осадження продуктів матеріалу електрод на діелектричній підкладинці у вигляді тонкої плівки.

На рисунках 1 і 2 наведено осцилограми імпульсів струму, напруги й імпульсної потужності перенапруженого наносекундного розряду між електродами зі сполуки Ag_2S за різних тисків повітря та максимальної зарядної напруги робочого конденсатора високовольтного модулятора імпульсів напруги. За менших зарядних напруг (у діапазоні від 20 до 12 кВ) форма осцилограм напруги і струму та вигляд імпульсної потужності були близькими

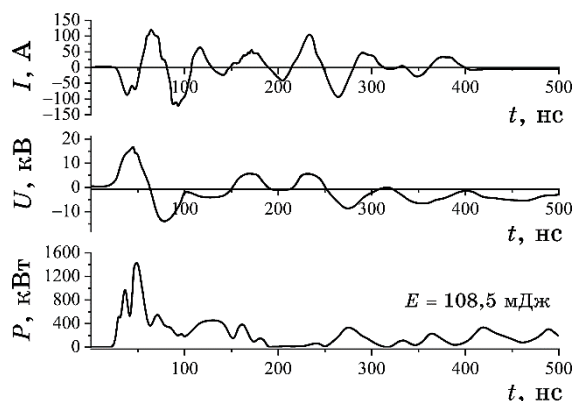


Рис. 1. Осцилограми імпульсів струму, напруги й імпульсна потужність перенапруженого наносекундного розряду в повітрі за тиску $p = 101$ кПа, $d = 2$ мм і $f = 1000$ Гц для зарядної напруги робочого конденсатора у 20 кВ.¹

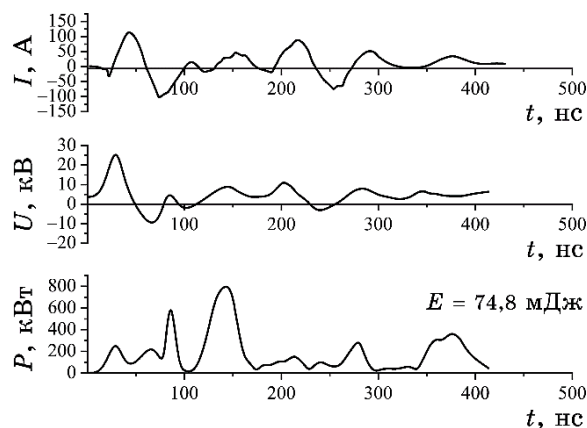


Рис. 2. Осцилограми імпульсів струму, напруги й імпульсна потужність перенапруженого наносекундного розряду в повітрі за тиску $p = 13,3$ кПа, $d = 2$ мм і $f = 1000$ Гц для зарядної напруги у 20 кВ.²

до наведених на рис. 1. В цьому випадку зменшувалися лише абсолютні значення всіх цих електричних характеристик розряду.

В даному експерименті повна тривалість імпульсів напруги досягала 400–450 нс, а сам імпульс напруги складався зі згасних у часі осциляцій тривалістю близько 20–30 нс.

Максимальна величина спаду напруги одної полярності на розрядному проміжку за зарядної напруги у 12 кВ складала 10 кВ, а струму — 120 А. Найбільша величина імпульсної потужності розряду досягалася в перші 50 нс з моменту його запалювання та

складала близько 1,4 МВт.

Енергія в імпульсі за зарядної напруги у 12 кВ сягала 10 мДж. Із збільшенням зарядної напруги до 20 кВ максимальна амплітуда імпульсу напруги зростала до 25 кВ, амплітуда струму складала 100 А, основний максимум імпульсної потужності сягав 0,8 МВт в момент часу 150 нс, а енергетичний внесок збільшувався до 74,8 мДж (рис. 1).

Із зменшенням тиску повітря до 13,3 кПа всі електричні характеристики розряду значно зменшувалися (рис. 2), що зумовлено значною неузгодженістю вихідного опору високовольтного модулятора імпульсів напруги й опору плазми розряду. Основний максимум імпульсної потужності водночас зміщувався з моменту часу $t = 50$ нс до $t = 140$ нс, величина її основного максимуму зменшувалася з 1300 до 800 кВт (рис. 1, 2), а енергетичний внесок у плазму зменшувався від 108,5 до 74,8 мДж.

На рисунках 3 та 4 наведено залежності середньої потужності випромінювання для УФ-А-, УФ-В-, УФ-С-діапазонів спектру від частоти повторення імпульсів напруги (за фіксованої зарядної напруги) та від величини зарядної напруги (за фіксованої частоти слідування імпульсів напруги) для атмосферного тиску повітря.

Максимальна величина сумарної середньої потужності УФ-випромінювання в повітрі атмосферного тиску для діапазонів УФ-випромінювання УФ-С й УФ-А досягалася за частоти слідування імпульсів напруги у 1000 Гц (рис. 3).

Збільшення частоти з 350 до 1000 Гц приводило до одержання найбільшої середньої потужності УФ-випромінювання у діапазоні (УФ-А) (рис. 4). Максимальним був ріст середньої потужності УФ-випромінювання в спектральному діапазоні $\Delta\lambda = 315\text{--}400$ нм (рис. 4).

Із збільшенням напруги на аноді тиратрона з 12 до 20 кВ (рис. 4) спостерігалася збільшення потужності УФ-випромінювання розряду у всіх діапазонах, але воно, порівняно із збільшенням частоти, приводило до значно меншого зростання середньої потужності УФ-випромінювання в усіх УФ-діапазонах спектру. Максимальне зростання середньої потужності УФ-випромінювання спостерігалася із збільшенням зарядної напруги від 16 до 20 кВ (рис. 4).

На рисунках 5 і 6 наведено залежності середньої потужності УФ-випромінювання для УФ-А-діапазону спектру від частоти повторення імпульсів напруги за фіксованої зарядної напруги на аноді тиратрона високовольтного модулятора та від величини зарядної напруги за фіксованої частоти для різних тисків повітря.

В таблиці 1 наведено найбільші величини середньої потужності УФ-випромінювання розряду для різних тисків повітря і фіксованих зарядної напруги та частоти повторення імпульсів, які

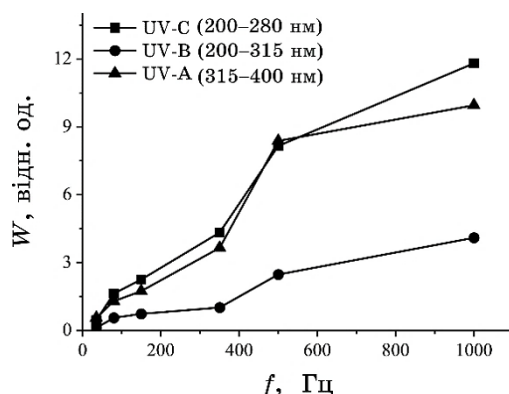


Рис. 3. Залежності потужності УФ-випромінювання (УФ-С, УФ-В, УФ-А-діапазони) перенапруженого наносекундного розряду від частоти повторення імпульсів напруги за зарядної напруги $U = 12$ кВ у повітрі між електродами з Ag_2S ($p = 101$ кПа, $d = 2$ мм).³

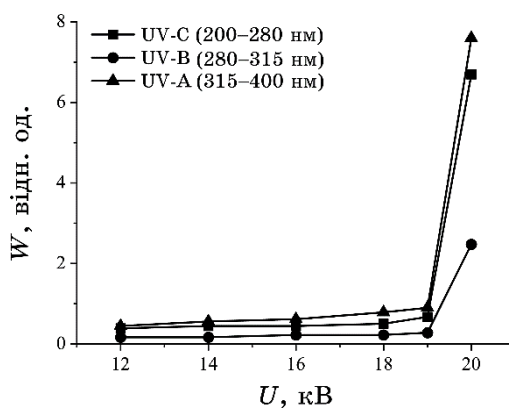


Рис. 4. Залежності середньої потужності УФ-випромінювання (УФ-С, УФ-В, УФ-А-діапазони) перенапруженого наносекундного розряду від величини напруги на електродах у повітрі (для $f = 80$ Гц, $p = 101$ кПа).⁴

спостерігалися на віддалі у 15 см від центру системи електрод на площі в 1 см^2 . Джерело розглядалося як точкове, що випромінює у сферу радіусом у 15 см.

Як впливає з рис. 5 і 6, для випромінювання розряду в діапазоні УФ-А максимальну потужність випромінювання одержано за тиску повітря у 101 кПа і частоти повторення імпульсів у 1000 Гц. Найбільший внесок у це збільшення потужності випромінювання дає зростання частоти (особливо в діапазоні частот 400–1000 Гц) (рис. 5), а збільшення зарядної напруги було менш ефективним, особливо в діапазоні зарядної напруги у 12–16 кВ (рис.

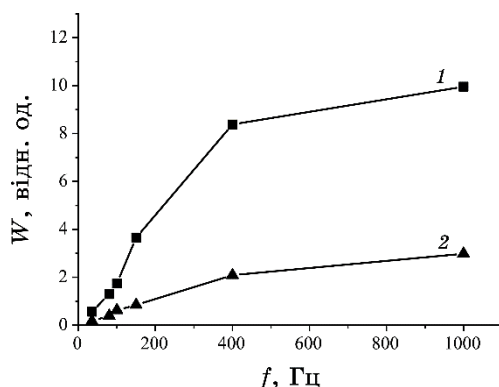


Рис. 5. Залежності середньої потужності випромінювання розряду в повітрі для УФ-А-діапазону спектру від частоти повторення імпульсів напруги за тисків: 1 — 101 кПа, 2 — 13,3 кПа ($U = 12$ кВ, $d = 2$ мм).⁵

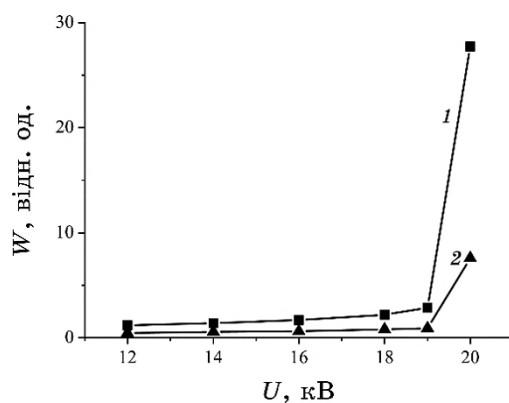


Рис. 6. Залежності середньої потужності випромінювання розряду в повітрі для УФ-А-діапазону спектру від величини зарядної напруги за частоти $f = 80$ Гц і тисків: 1 — 101 кПа, 2 — 13,3 кПа ($U = 12$ кВ, $d = 2$ мм).⁶

4).

Повна величина потужності УФ-випромінювання в діапазонах УФ-С, УФ-В, УФ-А за атмосферного тиску повітря та частоти повторення імпульсів у 1000 Гц в кут 2π стерадіан для віддалей у 2–4 см від центру системи електрод розряду знаходиться в межах 0,25–1,0 Вт.

Спектри випромінювання плазми на основі суперіонного провідника та повітря наведено в працях [15–17].

Основними джерелами випромінювання в короткохвильовому спектральному діапазоні 200–300 нм були однозарядні йони Ар-

ТАБЛИЦЯ 1. Максимальні значення потужності УФ-випромінювання розряду за різних тисків повітря ($U = 20$ кВ, $f = 1000$ Гц, $d = 2$ мм).⁷

Спектральний діапазон	$p(\text{повітря}) = 13,3$ кПа	$p(\text{повітря}) = 101,2$ кПа
	W , відн. од.	W , відн. од.
УФ-С (200–280 нм)	6,7	32,1
УФ-В (280–315 нм)	2,5	11,3
УФ-А (315–400 нм)	7,6	27,7

гентуму, а в спектральному інтервалі 300–340 нм — атоми Аргентуму. Найбільш інтенсивними спектральними лініями однозарядного йона Аргентуму були 224,64, 232,02, 233,13 нм, а найбільш інтенсивними лініями атома Аргентуму були 328,06 і 338,13 нм, з яких остання — це резонансна спектральна лінія з максимальним ефективним перерізом збудження. Оскільки інтенсивності нерезонансних спектральних ліній AgII сумірні за величиною з інтенсивністю резонансної лінії атома Аргентуму, то це може бути зумовлено реалізацією упродовж імпульсу струму та його післясвітіння механізмів збудження атомів і йонів Аргентуму прямим і ступеневим (через метастабільні рівні атома Аргентуму) електронним ударом і рекомбінаційного механізму (рекомбінація одно- та двозарядних йонів з електронами) та збудженням однозарядних йонів, які знаходяться в основному енергетичному стані з повільними електронами ($E = 5\text{--}100$ еВ) [15].

4. ОПТИЧНІ ХАРАКТЕРИСТИКИ ПОВЕРХНЕВИХ МІКРОСТРУКТУР, СИНТЕЗОВАНИХ З ГАЗОПАРОВОЇ СУМІШІ «ПОВІТРЯ– Ag_2S »

За встановлення скляної підкладинки на віддалі у 2–4 см від центру розрядного проміжку та часу горіння розряду у 0,5–1,0 години (для $f = 400\text{--}1000$ Гц) на підкладинці фіксувалось осадження поверхневих мікроструктур з продуктів розпорошення матеріалу електрод і продуктів деструкції молекул повітря.

Характерну світлинку поверхні синтезованої за атмосферного тиску повітря мікроструктури представлено на рис. 7.

Спектер комбінаційного розсіяння світла (КРС) плівки (рис. 8, 9), яку синтезовано з продуктів перенапруженого наносекундного розряду між електродами з суперйонного провідника Ag_2S за атмосферного тиску повітря в 1 атм, який досліджувався з використанням випромінювання при 532, 633 і 785 нм, характеризується смугами в діапазоні $100\text{--}1000$ см^{-1} . Зокрема, максимум у діапазоні $210\text{--}260$ см^{-1} , який викликаний наночастинками Ag_2S , пов'язаний з модами розтягнення зв'язків Ag-S [18, 19]. Смугу,



Рис. 7. $\times 50$ -кратне збільшення плівки, синтезованої з продуктів перенапруженого наносекундного розряду між електродами з суперіонного провідника Ag_2S за атмосферного тиску повітря в 1 атм.⁸

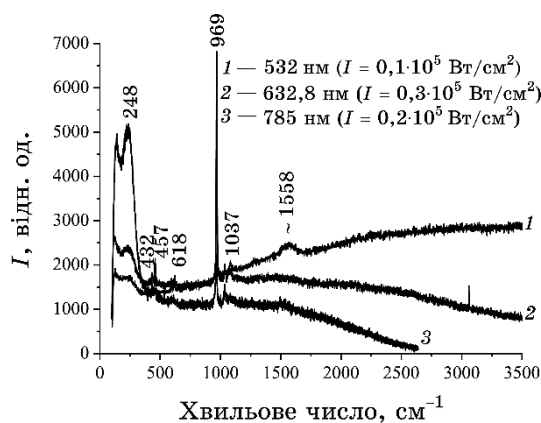


Рис. 8. Спектри КРС плівки, яку синтезовано з продуктів перенапруженого наносекундного розряду між електродами з суперіонного провідника Ag_2S за атмосферного тиску повітря в 1 атм.⁹

яку спостерігали в спектрі Ag_2S в діапазоні близько $\cong 248 \text{ см}^{-1}$, зумовлено радіальним коливанням кластера $(\text{AgS})_7$ [20]. Дана смуга спостерігалася також від зразків Ag_2S [18] і у спектрі $\alpha\text{-Ag}_2\text{S}$ [19].

Також спостерігалися дві смуги при 432 та 458 см^{-1} , які пов'язані з симетричним вигином у площині зв'язків O–S–O (ножничні коливання), а слаба смуга при 618 см^{-1} пов'язана з асиметричним вигином у площині зв'язків O–S–O (коливні вібрації) [18]. Різка й інтенсивна смуга при 969 см^{-1} пов'язана з симетричним розтягуванням зв'язків S–O і була у 3,3 рази більша від смуг у діапазоні 100–300 см^{-1} . Дана смуга також переважала в роботі [18], де авторами досліджувалися спектри сульфату Аргентуму Ag_2SO_3 та сульфату Аргентуму Ag_2SO_4 .

Також у спектрі КРС спостерігалися смуги при 1037/1077 см^{-1} ,

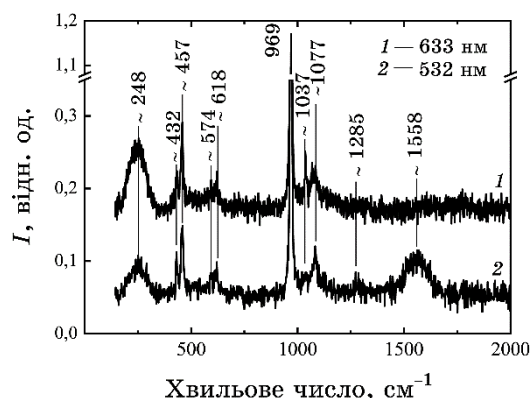


Рис. 9. Фон-кореговані та нормалізовані (з використанням смуги при 969 см^{-1}) спектри КРС плівки, синтезованої з продуктів перенапруженого наносекундного розряду між електродами з суперйонного провідника Ag_2S за атмосферного тиску повітря в 1 атм. Спектри зміщені по осі ординат для наочності.¹⁰

ТАБЛИЦЯ 2. Ідентифікація спектрів КРС Ag_2S на основі даних [18].¹¹

Хвильове число, см^{-1}	Ag_2SO_4 порошок [18]	Віднесення
432	432	$\delta_{\text{вп}}(\text{O-S-O})$
457	460	
574	595	$\delta_{\text{пп}}(\text{O-S-O})$
618	623	
969	970	$\nu_{\text{сим}}(\text{O-S-O})$
1077	1079	$\nu_{\text{асим}}(\text{O-S-O})$

Примітка: $\delta_{\text{вп}}$, $\delta_{\text{пп}}$ — деформація вигину в площині (вп) та поза площиною (пп); $\nu_{\text{сим}}$, $\nu_{\text{асим}}$ — симетричне й асиметричне розтягувальне (валентне) коливання.

які пов'язані з асиметричним розтягуванням зв'язків S–O [18].

Ідентифікацію спектрів КРС Ag_2S на основі даних [18] згідно з рис. 8 і 9 представлено в табл. 2.

Широка смуга в діапазоні $1460\text{--}1600\text{ см}^{-1}$ пов'язана з коливаннями Аргентуму й оксидних сполук Сульфуру, які виділяються за фотоіндукованого розкладання Ag_2S [19]. В роботі [18] максимум при $\approx 1435\text{ см}^{-1}$ пояснюють фоторозкладанням Ag_2S , що, можливо, викликано, як пояснюють автори статті, високою потужністю лазера або відносно довгою тривалістю міряння.

В спектрі КРС плівки, яку синтезовано з продуктів перенапруженого наносекундного розряду між електродами з суперйонного провідника Ag_2S за атмосферного тиску повітря в 1 атм, з використанням для досліду лазерів на довжинах хвилі у 633 нм,

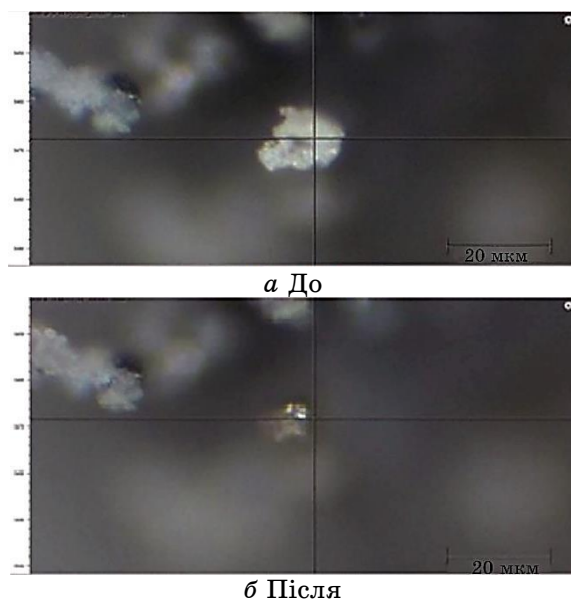


Рис. 10. Фототрансформація точки плівки, яку синтезовано з продуктів перенапруженого наносекундного розряду між електродами з суперіонного провідника Ag_2S за атмосферного тиску повітря в 1 атм, до (а) та після (б) опромінення в 785 нм лазером.¹²

785 нм, спостерігалися ті самі максимуми, що і у дослідженні з використанням випромінювання при 532 нм, але відрізнялися тільки інтенсивністю.

У дослідженні зразка з використанням випромінювання лазера на $\lambda = 633$ нм вираженою була смуга при 969 см^{-1} , а смуги в діапазоні $100\text{--}300 \text{ см}^{-1}$ були менш виражені й менші від смуги 969 см^{-1} у 2,5 рази.

У дослідженні зразка з використанням випромінювання лазера на $\lambda = 785$ нм максимальними були смуги в діапазоні $100\text{--}300 \text{ см}^{-1}$, які у 2,3 рази більші від смуги 969 см^{-1} .

На рисунку 10 наведено фототрансформацію ділянки плівки, яку синтезовано з продуктів перенапруженого наносекундного розряду між електродами з суперіонного провідника Ag_2S за атмосферного тиску повітря в 1 атм, до та після опромінення в 785 нм лазером, а їхні Раманові спектри — на рис. 11 і рис. 12 відповідно. З рисунку 4 видно, що інтенсивність Раманового сигналу опроміненої точки сильно спадає.

Дублет при $600/450 \text{ см}^{-1}$ може свідчити про некристалічну (полікристалічну) природу структури. Аналіза та порівняння показують, що форма спектрів подібна до спектрів кілець Сульфуру (S_8) — дублет $467/473 \text{ см}^{-1}$ [21]. Основна смуга зміщена у високо-

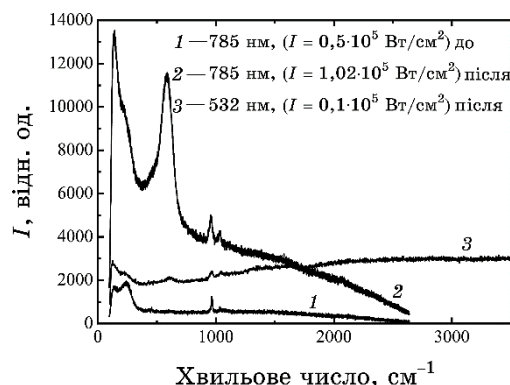


Рис. 11. Трансформація спектрів КРС плівки, яка синтезована з продуктів перенапруженого наносекундного розряду між електродами з суперіонного провідника Ag_2S за атмосферного тиску повітря в 1 атм до і після опромінення 785 нм лазером.¹³

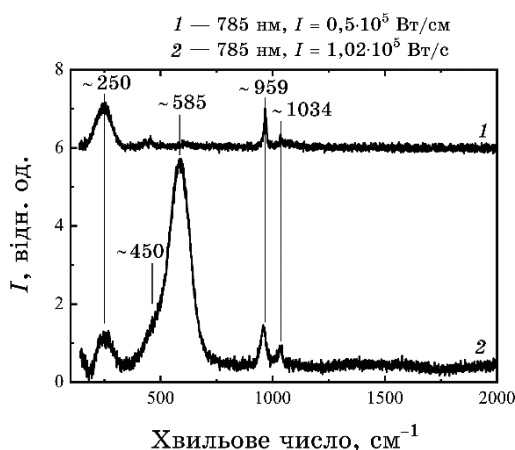


Рис. 12. Кориговані спектри трансформації спектрів КРС плівки до і після опромінення 785 нм лазером.¹⁴

енергетичний бік (600 см^{-1}). Це пов'язано зі збудженням при 785 нм, що може свідчити як про резонансну природу Раманового розсіяння в цьому випадку, так і про можливий ефект поверхневого підсилення Раманового розсіяння за рахунок наночастинок Аргентуму. Смуги при 600 і 958 см^{-1} пов'язані з модами, виявленими для SO_2 — 620 і 928 см^{-1} [22]. Перша з них відповідає O–S–O-симетричним коливанням типу вигину, а друга — розтягувальним модам S–O.

Таким чином, опромінення лазером 785 нм приводить до формування кільцеподібного Сульфуру у формі S_8 та оксидів Суль-

фуру. Роль наночастинок Ag може полягати в підсиленні спектру (SERS effect).

4. ВИСНОВКИ

Таким чином, дослідження характеристик перенапруженого наносекундного розряду в повітрі атмосферного тиску між електродами з суперйонного провідника Ag_2S виявило наступне: за віддалі між електродами у 2 мм запаювався просторово-однорідний розряд, форма якого визначалась енергетичним внеском у плазму та частотою повторення імпульсів, що, ймовірно, зумовлено утворенням у розряді електронів-«утікачів» і супутнього рентгенівського випромінювання, які виконували роль автоматичної системи передйонізації розрядного проміжку; максимальні напруга на розрядному проміжку, імпульсна потужність розряду й енергетичний внесок у плазму досягалися за атмосферного тиску повітря; найбільша середня потужність УФ-випромінювання розряду досягалася за частоти повторення імпульсів у 1000 Гц, тиску повітря у 101 кПа і величини зарядної напруги на аноді тиратрона високовольтного модулятора у 20 кВ; водночас вплив частоти повторення та тиску повітря на потужність УФ-випромінювання були визначальними; у спектрі випромінювання плазми розряду переважало випромінювання однозарядних йонів Аргентуму в спектральному діапазоні 200–300 нм і атомів Аргентуму в спектральному інтервалі 300–340 нм, що є перспективним для розробки точкової УФ-лампи на парах сполуки Ag_2S для застосувань у нанотехнологіях, медицині, біології й агротехнологіях; дослідження спектрів Раманового розсіяння світла тонкими плівками, синтезованими в експерименті, показало, що спектр комбінаційного розсіяння світла плівки, яку синтезовано з продуктів перенапруженого наносекундного розряду між електродами з суперйонного провідника Ag_2S за атмосферного тиску повітря в 1 атм, характеризувався смугами з максимумами при 432 см^{-1} , 458 см^{-1} , 969 см^{-1} , 1077 см^{-1} .

ЦИТОВАНА ЛІТЕРАТУРА–REFERENCES

1. K. Tominaga, N. Umezu, I. Mori, T. Ushiro, T. Moriga, and I. Nakabayashi, *Thin Solid Films.*, **316**, Nos. 1–2: 85 (1998); [https://doi.org/10.1016/S0040-6090\(98\)00394-0](https://doi.org/10.1016/S0040-6090(98)00394-0)
2. L. Holland and G. Samuel, *Surface Technology*, **14**, No. 3: 205 (1981); [https://doi.org/10.1016/0376-4583\(81\)90082-0](https://doi.org/10.1016/0376-4583(81)90082-0)
3. Zhubo Liu, A. A. Rogachev, M. A. Yarmolenko, X. H. Jiang, A. V. Rogachev, and D. L. Gorbachev, *Problemy Fiziki, Matematiki i*

- Tekhniki*, **14**, Iss. 1: 37 (2013).
4. S. I. Sadovnikov, A. A. Rempel', and A. I. Gusev, *JETP Letters*, **106**: 587 (2017); <https://doi.org/10.1134/S002136401721010X>
 5. E. C. Vorontsova, Yu. V. Kuznetsova, and S. V. Rempel, *Phys. Technologies. Innovations: Proceedings of the VII International Youth Scientific Conference (May 18–22, 2020, Yekaterinburg, RF)* (Yekaterinburg: UrFU: 2020), p. 339.
 6. Mahmoud Trad, Alexandre Nominé, Natalie Tarasenko, Jaafar Ghanbaja, Cédric Noël, Malek Tabbal, and Thierry Belmonte, *Front. Chem. Sci. Eng.*, **13**: 1 (2019); <https://doi.org/10.1007/s11705-019-1802-7>
 7. Y. Wang, B. M. Luther, F. Pedaci, M. Berrill, F. Brizuela, M. Marconi, M. A. Larotonda, V. N. Shlyaptsev, and J. J. Rocca, *IEEE Transactions on Plasma Science*, **33**, No. 2: 584 (2005); <https://doi.org/10.1109/TPS.2005.845278>
 8. A. K. Shuaibov, A. Y. Minya, Z. T. Gomoki, A. A. Malinina, and A. N. Malinin, *Surface Engineering and Applied Electrochemistry*, **56**, No. 4: 510 (2020); <https://doi.org/10.3103/S106837552004016X>
 9. O. K. Shuaibov, O. Y. Minya, A. O. Malinina, O. M. Malinin, and I. V. Shevera, *Nanosistemi, Nanomateriali, Nanotehnologii*, **19**, No. 11: 89 (2021); <https://doi.org/10.15407/nnn.19.01.189>
 10. K. Shuaibov and A. O. Malinina, *Progress in Physics of Metals*, **22**, No. 3: 382 (2021); <https://doi.org/10.15407/ufm.22.03.382>
 11. O. K. Shuaibov, A. O. Malinina, and O. M. Malinin, *Kharakterystyky i Parametry Perenapruzhenoho Nanosekundnoho Rozriadu v Paro-Hazovykh Sumishakh ta Rozrobka Novykh Hazorozriadnykh Lamp* [Characteristics and Parameters of Overvoltage Nanosecond Discharge in Vapor–Gas Mixtures and Development of New Gas Discharge Lamps]: Monograph (Uzhhorod: Hoverla: 2021) (in Ukrainian).
 12. V. F. Tarasenko, *Runaway Electrons Preionized Diffuse Discharge* (New York: Nova Science Publishers Inc.: 2014).
 13. D. V. Beloplotov and V. F. Tarasenko, *Journal of Physics: Conference Series*, **1393**: 012004 (2019); <https://doi.org/10.1088/1742-6596/1393/1/012004>
 14. G. A. Mesyats, *Usp. Fizich. Nauk*, **165**, No. 6: 601 (1995) (in Russian); <https://doi.org/10.1070/PU1995v038n06ABEH000089>
 15. A. Shuaibov, A. Minya, R. Hrytsak, A. Malinina, A. Malinin, Y. Zhiguts, and I. Shevera, *Biomedical & Translational Science*, **2**, No. 1: 1 (2022); <https://doi.org/10.33425/2768-4911.1025>
 16. O. K. Shuaibov, O. Y. Minya, R. V. Hrytsak, A. A. Malinina, A. N. Malinin, Yu. Yu. Bilak, and Z. T. Homoki, *J. Pharmaceutics and Pharmacology Research*, **5**, No. 7: 1 (2022); <https://doi.org/10.31579/2693-7247/093>
 17. O. K. Shuaibov, O. Y. Mynia, O. M. Malinin, R. V. Hrytsak, A. O. Malinina, A. I. Pogodin, and Z. T. Homoki, *Journal of Nano- and Electronic Physics*, **15**, No. 1: 01010 (2023); [https://doi.org/10.21272/jnep.15\(1\).01010](https://doi.org/10.21272/jnep.15(1).01010)
 18. I. Martina, R. Wiesinger, D. Jembrih-Simburger, and M. Schreiner, *e-PS*, **9**: 1 (2012).
 19. S. I. Sadovnikov, E. G. Vovkotrub, and A. A. Rempel, *Dokl. Phys. Chem.*, **480**, No. 6: 81 (2018); <https://doi.org/10.1134/S0012501618060027>
 20. Y. Delgado-Beleco, M. Cortez-Valadez, C.E. Martinez-Nucez, R. Britto Hurtado, R. A. B. Alvarez, O. Rocha-Rocha, H. Arizpe-Chávez,

- A. Perez-Rodriguez, and M. Flores-Acosta, *Chemical Physics*, **463**: 106 (2015); <https://doi.org/10.1016/j.chemphys.2015.10.009>
21. C. Nims, B. Cron, M. Wetherington, J. Macalady, and J. Cosmidis, *Sci. Rep.*, **9**: 7971 (2019); <https://doi.org/10.1038/s41598-019-44353-6>
22. L. Mandrile, I. Cagnasso, L. Berta, A.M. Giovannozzi, M. Petrozziello, F. Pellegrino, A. Asproudi, F. Durbiano, and A. M. Rossi, *Food Chemistry*, **326**: 127009 (2020); <https://doi.org/10.1016/j.foodchem.2020.127009>

DVNZ 'Uzhhorod National University',
3, Narodna Sq.,
UA-88000 Uzhhorod, Ukraine

¹ Fig. 1. Oscillograms of current, voltage pulses and pulse power of an overvoltage nanosecond discharge in air at a pressure $p = 101$ kPa ($d = 2$ mm and $f = 1000$ Hz) with a charging voltage of the working capacitor of 20 kV.

² Fig. 2. Oscillograms of current, voltage pulses and pulse power of an overvoltage nanosecond discharge in air at a pressure $p = 13.3$ kPa ($d = 2$ mm and $f = 1000$ Hz) with a charging voltage of 20 kV.

³ Fig. 3. Dependences of UV-radiation power (UV-C, UV-B, UV-A ranges) of an overvoltage nanosecond discharge on the frequency of repetition of voltage pulses at a charging voltage $U = 12$ kV in air between Ag_2S electrodes ($p = 101$ kPa, $d = 2$ mm).

⁴ Fig. 4. Dependences of the average power of UV radiation (UV-C, UV-B, UV-A ranges) of the overvoltage nanosecond discharge on the voltage on the electrodes in air (at $f = 80$ Hz, $p = 101$ kPa).

⁵ Fig. 5. Dependences of the average discharge radiation power in air for the UV-A spectrum range on the repetition rate of voltage pulses at pressures: 1—101 kPa, 2—13.3 kPa (at $U = 12$ kV, $d = 2$ mm).

⁶ Fig. 6. Dependences of the average discharge radiation power in air for the UV-A spectrum range on the charging voltage at a frequency $f = 80$ Hz and pressures: 1—101 kPa, 2—13.3 kPa (at $U = 12$ kV, $d = 2$ mm).

⁷ TABLE 1. Maximum values of UV-discharge power at different air pressures ($U = 20$ kV, $f = 1000$ Hz, $d = 2$ mm).

⁸ Fig. 7. $\times 50$ magnification of image of the film synthesized from the products of an overvoltage nanosecond discharge between electrodes of the superionic conductor Ag_2S at an atmospheric air pressure of 1 atm.

⁹ Fig. 8. Raman spectra of the film synthesized from the products of an overvoltage nanosecond discharge between electrodes of the superionic conductor Ag_2S at atmospheric air pressure of 1 atm.

¹⁰ Fig. 9. Background-corrected and normalized (using the band at 969 cm^{-1}) Raman spectra of the film synthesized from the products of an overvoltage nanosecond discharge between electrodes of the superionic conductor Ag_2S at an atmospheric air pressure of 1 atm. The spectra are shifted along the ordinate axis for clearness.

¹¹ TABLE 2. Identification of Ag_2S spectra of the CRS based on data from Ref. [18].

¹² Fig. 10. Phototransformation of the film dot synthesized from the products of an overvoltage nanosecond discharge between electrodes of superionic conductor Ag_2S at an atmospheric air pressure of 1 atm before (a) and after (b) irradiation with a 785 nm laser.

¹³ Fig. 11. Transformation of the Raman spectra of the film synthesized from the products of an overvoltage nanosecond discharge between electrodes of superionic conductor Ag_2S at an atmospheric air pressure of 1 atm before and after irradiation with a 785 nm laser.

¹⁴ Fig. 12. Corrected Raman transformation spectra of the film before and after irradiation with a 785 nm laser.